

Vysoká škola: strojní a textilní
Fakulta: textilní

Katedra: KTP
Školní rok: 1967

DIPLOMNÍ ÚKOL

pro Monen Al D A I F
obor 042-11- Textilní stroje

Protože jste splnil požadavky učebního plánu, zadává Vám vedoucí katedry ve smyslu směrnic ministerstva školství a kultury o státních závěrečných zkouškách tento diplomní úkol:

Název tématu: Odtah tkaniny pro tkací stav

Pokyny pro vypracování:

Vypracujte konstrukci odtahu tkaniny včetně vedení tkaniny, zbožového regulátoru a navýjecího zařízení.

Technické podmínky:

Maximální tah osnovy 350 kp

Maximální Ø návinu tkaniny 400 mm

Rozsah dostavy útků na 1 cm 4 - 120

Regulace: od 4 - 8 útků po 1/3 útku

od 8 - 15 útků po 1/2 útku

od 15 - 40 útků po 1 útku

od 40 - 120 po 2 útcích

Odtah tkaniny musí vyhovovat také pro tkání umělého hedvábí.

Prověřte nutnost samočinného povolení tkaniny při zastavení stavu útkovou zarážkou.

Na ručním ovládacím kole regulátoru může být max. síla 4 kp (při max. tuhu osnovy 350 kp). Regulátor bude určen pro automatické stavy K 58-1 K 58-H a UTAS.

Vypracujte technicko-ekonomické zdůvodnění nové konstrukce.

Autorské právo se řídí směrnicemi MŠK pro státní závěrečné zkoušky č. j. 31.727/1961, 2 ze dne 13 července 1962. Vydává MŠK XZL, s.r.o. 24 ze dne 31.3.1962 § 19 autorizuje zápis č. 115/53 Sb.

Rozsah grafických laboratorních prací:

Sestavní výkresy

3 dílenské výkresy součástí

Rozsah průvodní zprávy:

40 - 50 listů A4 textu a výpočtů

Seznam odborné literatury: **Talavášek:** Konstrukce tkacích stavů - skripta VŠST

Talavášek-Kazda: Odtah tkaniny - Průzku. zpráva

Typisace VŠST 1967

Výkresy zbožového regulátoru STD (Sulzer) ve
VUŠT Liberec

Dokumentace ZTS Týniště a TOTEX - Jiříkov.

Vedoucí diplomní práce: Prof. Ing. František Pompé

Konsultanti: Doc. Ing. Oldřich Talavášek

Ing. Ota Kazda

Ing. Miroslav Černý ZŠS Týniště n. Orlicí

Datum zahájení diplomní práce:

Datum odevzdání diplomní práce:

L. S.

Talavášek
Vedoucí katedry

Děkan

V dne 19

Obsah

- I. úvod
- II. prohlášení
- III. seznam použitých značek
- IV. popis regulátoru
- V. popis funkce regulátoru
- VI. hodnost regulátoru pro tkání z umělého hedvábí
- VII. samočinné povolení tkaniny při zastavení útkovou zarážkou
- VIII. schema regulátoru
- IX. výpočty
- X. tabulky - výměna kola
- XI. technické - ekonomické zdůvodnění
- XII. seznam výkresů
- XIII. literatura
- XIV. výkresy

VŠST LIBEREC
FAKULTA STROJNÍ

PROHLÁŠENÍ

List č. 2

30. října 1967

Al-DHAIEF Monem

Místopřísežně prohlašuji, že jsem
diplomovou práci vypracoval samostatně.



Úvod

Nástup syntetických materiálů sortimentu textilních surovin, nové principy tkaní a zvyšování rychlosti tkaní ovlivnily i konstrukci ústrojí pro odtah tkaniny. Zvýšily se nároky na přesnost odtahu, možnosti jemného seřízení v širokém rozpětí dostav, trvanlivost seřízení regulátoru i jednoduchost obsluhy. Tkaniny ze syntetických vláken navíc kladou na ústrojí odtahu zvýšené nároky svou jemností struktury, která nesmí být narušena ani při zvýšeném namáhání tahem a požadavkem vysozené velké třecí síly na tkanině. Snaha po zvýšení produktivity práce ve tkalcovně přináší také zájem vyrábět díla tkanin velkých délek. Zde se snaží konstrukcí vyhodnotit, konstrukci nabálecího zařízení s možností navinutí válce tkaniny o velkém průměru. Zvyšující také nároky na kvalitu tkaniny. Aby byla zmenšena možnost vzniku chyb vinou tkalce, jsou regulátory vybavovány zařízením pro automatické povolení tkaniny při zastavení stavu útkovou zarážkou. Moderní ústrojí odtahu tkaniny - zbožový regulátor - je konstruováno jako regulátor pozitivní. Nabálení tkaniny je odděleno od zařízení odtahu tkaniny. Vlastní ústrojí zbožového regulátoru můžeme rozdělit na tři funkční celky:

perce

pohybové ústrojí, převodové ústrojí a drsný válec k odtahu tkaniny.

Pohybové ústrojí dnes bývá většinou provedeno jako více západkové. Převodové ústrojí je řešeno tak, aby bylo možno měnit jemně - téměř plynule - dostavu, širokého rozsahu dostav je dosaženo malým počtem výměn ozubených kol původu. Drsný odtahový válec se zvětšil, jeho povrch bývá opatřován materiélem s vysokým koeficientem tření.

Samostatné nabálení ústrojí umožňuje navíjet dlouhé délce tkaniny s nevysokým napětím.

Další vývoj zbožových regulátorů směřuje k univerzálnosti základních uzlů ústrojí. Tím má být umožněno použití regulátoru jednoho, základního principu, pouze s malými úpravami dimenzování součásti, pro různé typy stavů.

Zařízení pro odtah tkaniny, jehož konstrukce je řešena v této práci, vychází ze známé konstrukce regulátoru stavu K - 58 - 1. Při konstrukci bylo využito poznatků textilních závodů v nichž pracují stavby s těmito regulátory.

Záměrem navržené konstrukce je regulátor pracující s větší tažnou silou tkaniny, menšími silami na ručním ovládacím zařízení, a větší životnosti než mají regulátory dosud užívané u ČS. bavlnářských stavů.

Seznam použitých značek.

- S - Tah tkaniny
- α - Úhel opásání
- α_m - Úhel záběrů
- φ - Úhel tření
- γ - Vrcholový úhel
- ν - Úhel stoupání
- η - Účinnost
- σ_{rd} - Redikované napětí
- σ_d - Dovolené napětí
- F - Součinitel tření
- i - Převod
- H_o - Součinitel doby pro ohyb
- H_s - Součinitel doby pro otlačení
- d_1 - Roztečný průměr kružnice šneku
- d_2 - Roztečný průměr kružnice šnekového kola
- d_{sh} - Hlavová kružnice šneku
- d_{sh} - Hlavová kružnice šnekového kola
- d_{sp} - Patní kružnice šneku
- d_{sp} - Patní kružnice šnekového kola
- b_o - Délka oblouku patní kružnice šnekového kola
- b_d - Účinná šířka ozubení šnekového kola
- m_n - Normální modul
- m_x - Osový modul
- P_{d_1} - Dovolené zatížení na otlačení šneku
- P_{d_2} - Dovolené zatížení na ohyb šnekového kola
- P_{r_1} - Radiální síla na šnek
- P_{A_1} - Axiální síla na šnek
- P_{o_2} - Obvodová síla šnekového kola
- T - Třecí síla

- P_{D01} - Dovolené zatížení na ohyb šneku
- P_{D02} - Dovolené zatížení na ohyb šnekového kola
- Km_{01} - Součinitel materiál na ohyb šneku
- Km_{02} - Součinitel materiálu na ohyb šmekového kola
- Km_{D1} - Součinitel materiálu na etlačení šneku
- Km_{D2} - Součinitel materiálu na etlačení šnekového kola
- M_{K_1} - Kroutící moment šneku
- M_{K_2} - Kroutící moment šnekového kola a drsného válce
- M_t - Vyvozený moment od třecí síly
- N_1 - Normální síla šneku od šnekového kola
- V_{K_1} - Kluzná rychlosť šneku
- V_{K_2} - Kluzná rychlosť šnekového kola
- V_1 - Obvodová rychlosť šneku
- V_2 - Obvodová rychlosť šnekového kola
- V_{01} - Součinitel rychlosťi pro ohyb šneku
- V_{02} - Součinitel rychlosťi pro ohyb šnekového kola
- V_{d_1} - Součinitel rychlosťi pro odtlačení šneku
- V_{d_2} - Součinitel rychlosťi pro odtlačení šnekového kola
- R - Poloměr drsného válce
- R_1 - Poloměr roztočné kružnice šneku
- R_2 - Poloměr roztočné kružnice šnekového kola
- Z_1 - Počet zubů šneku
- Z_2 - Počet zubů šnekového kola
- n_1 - Počet otéček šneku
- n_2 - Počet otáček šnekového kola
- a - Vzdálenost os soukolí
- c - Hlavová vůle

Popis regulátoru

Navrhovaný zbožový regulátor se skládá z těchto hlavních částí:

- 1a/ náhonového / podávacího / ústrojí
- b/ zařízení pro samočinné povolování tkaniny při přetruhu útku
- 2/ převodového ústrojí ozubených vyměnných kol
- 3a/ vlastního převodového ústrojí / neměnného/
- b/ převodového ústrojí pro ruční ovládání regulátoru
- c/ drsného / tažného válce/

Popis funkce

1. Náhonové / podávací / ústrojí se skládá z rohatky 1, která je pevně na hřídeli 2 uložené kluzně v levé postranici. Do rohatky zabírá západka 3. Západka je pevně spojena s podávacím rámem 4 a do stálého záběru s rohatkou je tažena prostřednictvím pružiny 5. Podávací rameno je otočně uloženo na dvouramenné páce 6, která je současně otočena kolem hřídele 2. Pohyb západky je udáván od mečíku přes držák 7 a čep 8. Držák je v mečíku výškově přestavytelný, čep je kluzně uložen v drážce dvouramenné páky 6, čímž se mění délka jejího ramene a tím vlastní podání západky o 1 až 3 zuby.

Dále u náhonového / podávacího / ústrojí je zařízení pro samočinné povolování tkaniny při přetruhu útku. Dojde-li během tkaní k přetření útku, natočí se prostřednictvím vydličky / kontrolující zanesený útek/ dvoramenná páka.

Tato soustava není ve výkresu č. DP 001-67 zakreslena, neboť je zahrnutá ve skupině zatažného zařízení / což je samostatný celek/.

Dvoramenná páka natočí kolem čepu 9 západku regulátoru 10, která kolíkem 11 vysune ze záběru s rohatkou 1 západku 3.

Zpětným tahem tkaniny se otočí zpět rohatka 1. vzdálenost seřízenou - vymezenou šroubem 12 v pojistné západce 13. Vzdálenost je nutno seřídit tak, aby odpovídala zvolené dostavě t.j. o podání rohatky / 1 až 3 zuby /.

Ústrojí výmenných ozubených kol

2. Při normálním chodu stavu t.j. při podávání západky natočí se rohatka 1 a tím i hřídel 2. Tento pohyb je přenesen ozubenými koly 14 - 21, t.j. přes ozubená kola upevněná na lyre 22 na hřídel 23.

Vlastní převodové ústrojí neměnné

3a. Hřídel 23 je otočně uložená ve výku 24 skříně převodového ústrojí 25. Uvnitř skříně je s hřídelí 23 pevně spojeno kuželové ozubené kolo 26, které je v záběru s druhým kolem 27 pevně spojeným se hřídelí 28. Hřídel je otočně uložená ve dvou radiálních ložiskách 29 a 30 opřena v axiálním ložisku 31, které zachycuje tlaky od šneku 32. Šnek je s hřídelí 28 spojen pevně kolíkem 33. Šnek zabírá do šnekového kola 34 pevně spojeného s hřídelí 35. Hřídel je uložena ve skříni přišroubované k postranici a je uložena v kluzném ložisku. Na vnitřní straně postranice je hřídel spojena spojkou 36 s drsným / tažným / válem 37, čímž je převeden pohyb od rohatky přes převodové ústrojí tažným válcem ke tkanině. Druhý konec drsného válku je uložen v kluzném ložisku 38 připevněném na pravé postranici.

3b. Na hřídeli 28 je uloženo ozubené kolo 39, které je ve stálém záběru s ozubeným kolem 40 pevně spojeném na hřídeli 41. Hřídel je otočně uložená v kluzném ložisku 42. Ozubené kolo je proti osovému posuvu zajištěno pojistným kroužkem 43. Po vyšroubování zátky 44 a demontáži ozubených kol 40 a 45 lze hřídel 41 vysunout z kluzného ložiska.

Ozubené kolo 45 zabírá do kola 46, které je pevně spojeno s pouzdrem 47, které je otočně uloženo na hřídeli 28. Za normálního chodu ~~nebo~~ klidu stavu jsou tato čtyři ozubená kola tvořící samostatný vložený převod v záběru a přes pouzdro 47 současně je převeden pohyb na ruční kolo 48.

Tento vložený převod byl zařazen do zbožového regulátoru v důsledku požadavku technického zadání diplomové práce, aby síla potřebná k ručnímu ovládání regulátoru nebyla větší než 4 kg. Ozubené kolo 39 a 46 tvoří současně svým provedením zubovou spojku, která může být v činnosti při ručním ovládání, kdy převod od ručního kola přes šnek na šnekové kolo je 75,3. Uprnutím této zubové spojky se změní převodový poměr na 24,2. Záběr spojky dosáhneme posunutím ručního kola 48 / t.j. stlačením pružiny 49 / po hřídeli 28. Jakmile přestaneme působit na ruční kolo v axiálním směru, je toto vráceno pružinou 49 do svoji původní polohy.

Krajní poloha je dána dosednutím ozubeného kola 46 na vložku 50 ve výčku 51. V tomto výčku je umístěn těsnící kroužek 52, který zabraňuje unikání oleje z převodového ústrojí, stejně jako gufero kroužek 53 ve výku skříně 24.

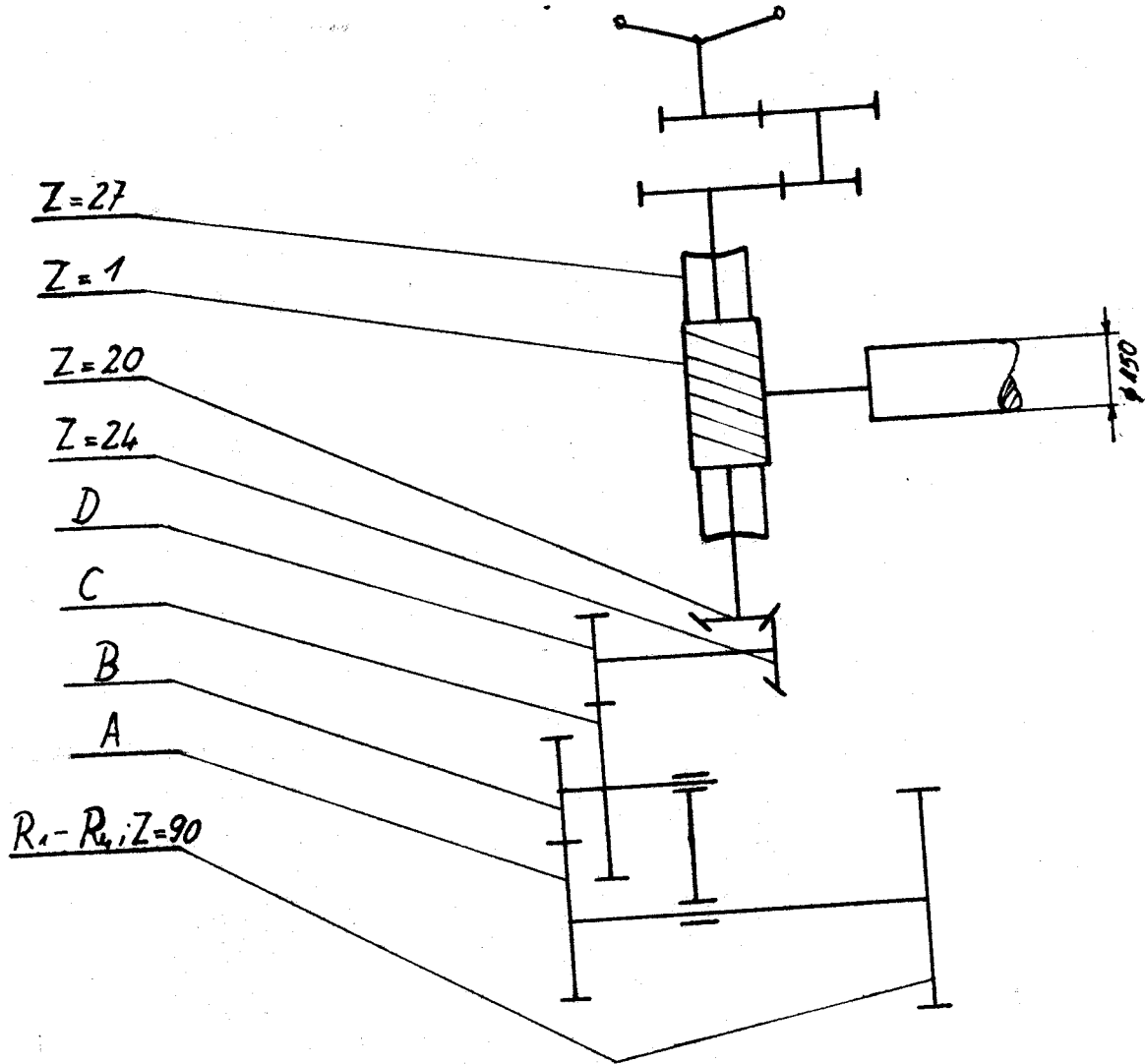
Ve skříni je nutné dodržet hladinu oleje protože mazání převodového ústrojí je řešeno broděním šroubu 32 a ozubeného kola 39 pod hladinou oleje.

Hodnost regulátoru pro tkaní z umělého hedvábí.

Způsobilost navrženého regulátoru pro tkaniny z umělého hedvábí a syntetických materiálů je zajištěna stykem tkaniny s tažným válcem na velké délce ~~15,23 mm~~. Této zvětšené délky bylo dosaženo volbou velkého průměru tažného válce ~~15,23 mm~~ a opásání válce tkaninou na úhlu 300°. Tažný / drsný / válec nesmí poškozovat jemnou hedvábnou tkaninu. Této podmínce většinou nevyhovují povlaky drsného válce, používané u bavlnářských stavů. Gumový povlak s válečkovými výstupky, který byl použit u stavu K - 58 - H není cele hodnotný. V hedvábnickém provedení bude povlak z tvrdé gumy vulkanisován přímo na opracované těleso tažného válce. Tato úprava byla úspěšně vyzkoušena v n.p. HEDVA.

Samočinné povolení tkaniny při zastavení útkovou zarážkou.

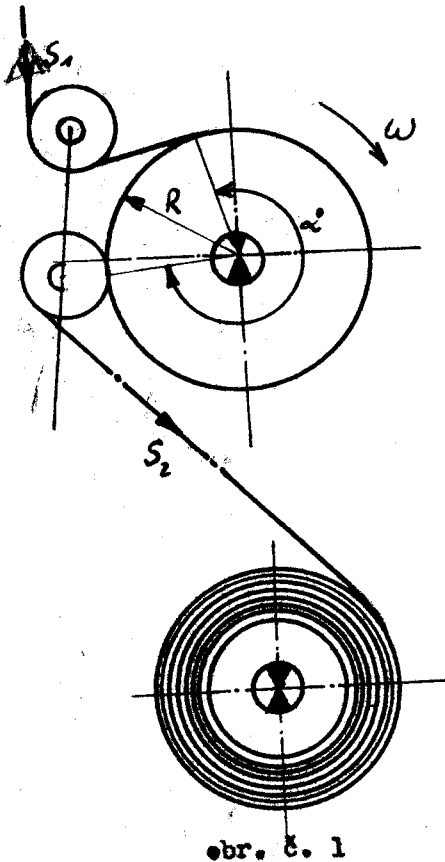
Na základě úkolu diplomního zadání byl proveden průzkum nutnosti samočinného povolení tkaniny při zastavení útkovou zarážkou. Průzkum byl proveden v n. p. Hedva Liberec, kde jsou v provozu stavy K - 58 - H. Podle zádelení n.p. Hedva je nezbytně nutné, aby regulátor byl tímto zařízením vybaven. Povolovací zařízení je řešeno na sestavě výkresu.



$$\bar{D} = \frac{90}{4} \cdot \frac{B}{A} \cdot \frac{D}{C} \cdot \frac{20}{24} \cdot \frac{27}{1 \cdot \pi \cdot 15}$$

$$\bar{D} = 10,82 \cdot \frac{B \cdot D}{A \cdot C}$$

Odtah tkaniny



obr. č. 1

Tkací stroje všech systémů se v současné době konstruují tak, aby na nich bylo možno zpracovávat i chemická vlákna.

U zbožového regulátoru se toto zaměření projevilo zvětšením průměru drsného válku k odtahu tkaniny a zvětšením útku opásání na nejméně $3/4$ obvodu.

Výpočet třecí síly T.

$$T = S_1 - S_2 = S_1 - \frac{S_1}{e} f$$

$$\alpha^\circ = 300^\circ$$

$$\alpha = \alpha^\circ \cdot \frac{T}{180^\circ} = 300 \cdot \frac{T}{180} = 5,23$$

$$S_1 = S_2 \cdot e^f$$

$$f = 0,4$$

$$S_2 = \frac{S_1}{e^f} = \frac{350}{0,4 \cdot 5,23} = 42,5 \text{ kp}$$

odhad
 $f = 0,4$

$$T = S_1 - S_2 = 350 - 42,5 = \cancel{317,5} \text{ kNm} \quad 307,5 \text{ kNm}$$

Výpočet kroutícího momentu na drsný válec.

Na drsný válec působí třecí síla T.

Průměr drsného válce $d = 150 \text{ mm}$

$$R = \frac{d}{2} = \frac{150}{2} = 75 \text{ mm}$$

$$M_{K2} = T \cdot R = 307,5 \cdot 75 = 23800 \text{ kNm} \cdot \text{mm}$$

Výpočet rozměru soukoli.

$$\text{Zvolíme } z_1 = 1 \quad z_2 = 27$$

$$m_m = 5 \text{ mm} \quad \alpha_m = 20^\circ$$

$$V = 4^\circ 37' 43'' \quad f = 0,06$$

$$m_x = \frac{m_m}{\cos V} = \frac{5}{0,996} = 5,02 \text{ mm}$$

$$d_1 = \frac{z_1 \cdot m_x}{f \cdot V} = \frac{1 \cdot 5,02}{0,08} = 62,7 \text{ mm}$$

$$d_2 = z_2 \cdot m_x = 27 \cdot 5,02 = 135,4 \text{ mm}$$

$$R_1 = \frac{d_1}{2} = \frac{62,7}{2} = 31,35 \text{ mm}$$

$$R_2 = \frac{d_2}{2} = \frac{135,4}{2} = 67,7 \text{ mm}$$

$$d_{1h} = d_1 + 2m_x = 62,7 + 2 \cdot 5,02 = 72,74 \text{ mm}$$

$$d_{2h} = d_2 + 2m_x = 135,4 + 2 \cdot 5,02 = 145,44 \text{ mm}$$

$$d_{1p} = d_1 - 2,5m_x = 62,7 - 2,5 \cdot 5,02 = 50,2 \text{ mm}$$

$$d_{2p} = d_2 - 2,5 \cdot m_x = 135,4 - 2,5 \cdot 5,02 = \\ = 122,9 \text{ mm}$$

Základní výpočty pro výpočet rozměru soukoli

Naho

výpočet polovičního vrcholového úhlu.

$$\cos \psi = \frac{d_{th} - 2 \cdot m_x}{d_{th}} = \frac{72,74 - 2 \cdot 5,02}{72,74} = 0,867$$

$$\psi = 30^\circ$$

$$\sin \psi = \sin 30^\circ = 0,5$$

$$\arcsin 30^\circ = \frac{\pi \cdot 30^\circ}{180^\circ} = 0,522$$

$$Ca = \frac{1}{6} \cdot m_x = \frac{5,02}{6} = 0,836$$

Kontrola na ohyb a otlačení soukoli.

Maximální otáčky stavu 230 ot/min. Pracujeli šnekové soukoli 24 hod. denně pak součinitel doby β_{th} , dle pro ohyb a otlačení, je zavedeno do výpočtu z diagramu. / str. 362, části strojů 21 / V

Materiál šnekového kola - šedá litina 422420
- bronz

Ozubený věnec
- cementovaný kalený

Šnek

Součinitel materiálu K_{M_01} ; K_{M_02} ; K_{M_D1} ; K_{M_D2} je zaveden do výpočtu z tabulky / str. 297 strojnické tabulky. /

$$d_o = 1,25$$

$$d_d = 1,25$$

$$K_{M_01} = 17,5$$

$$K_{M_02} = 9$$

$$K_{M_D1} = 0,53$$

$$K_{M_D2} = 0,48$$

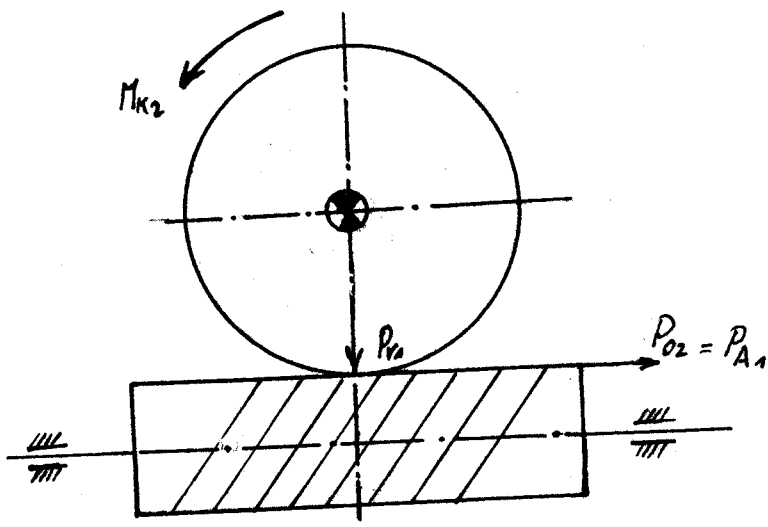
1. Kontrola na ohyb.

a) šnekové kolo

$$P_{o_2} = \frac{M_{K_2}}{R_2} = \frac{23800}{67,7} = 350 \text{ kp}$$

$$P_{o_2} = P_{A_1} = 350 \text{ kp} \quad - \text{ obr. č. 2}$$

$$\gamma' = \text{úhel stoupání } \nu = 4^\circ 37' 43'' \quad \begin{matrix} \text{podmínka samosver-} \\ \text{ností} \end{matrix}$$



obr. č. 2

Výpočet silových poměrů souklopení.

Na obráz č. 2 - obvodová síla šnekového kola $= P_2$
- axiální síla $= P_1$

$$P_2 = P_1 = 350 \text{ kp}$$

- kroutící moment na šneku M_{K2}

$$M_{K2} = M_{K2} \cdot i \quad i = \frac{1}{27}$$

$$M_{K2} = 23800 \checkmark$$

$$M_{K2} = 23800 \cdot \frac{1}{27} = 870 \text{ kp mm}$$

obvodová síla šneku P_1

$$P_1 = \frac{M_{K2}}{R_1} = \frac{870}{30} = 29 \text{ kp}$$

v závislosti

radiální síla na šneku je stejná jako u šnekového kola

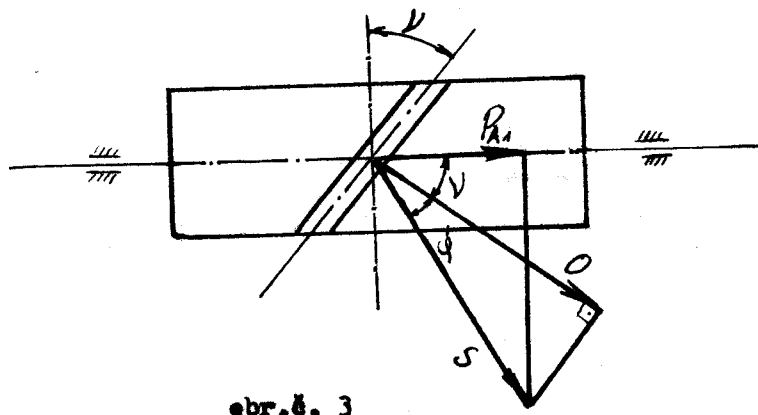
$$P_{R1} = P_{R2}$$

$$P_{R1} = \frac{P_1 \cdot \cos \varphi \cdot \operatorname{tg} \alpha_m}{\cos (\varphi + \nu)} = \frac{350 \cdot \cos 4^\circ 38' \cdot \operatorname{tg} 20^\circ}{\cos 2\nu} =$$

$$= \frac{350 \cdot 0,996 \cdot 0,364}{2 \cos^2 \nu - 1} = \frac{350 \cdot 0,996 \cdot 0,364}{2 \cdot 0,994 - 1} =$$

$$= 352 \cdot 0,364 = 128 \text{ kp}$$

$$P_{R1} = P_{R2} = 128 \text{ kp}$$

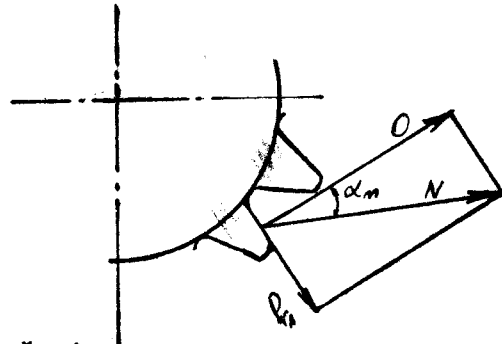


Na obr. č. 3 vypočítáme síly S a O

$$S = \frac{P_{A1}}{\cos(\varphi' + \nu)}$$

$$O = \frac{P_{A1} \cdot \cos \varphi'}{\cos(\varphi' + \nu)} = \frac{350 \cdot 0,996}{2 \cos^2 \nu - 1} =$$

$$= \frac{350 \cdot 0,996}{2 \cdot 0,997 - 1} = \frac{349,3}{0,994} = 352 \text{ kp}$$



Na obr. č. 4 vypočítáme sílu N

$$N = \frac{O}{\cos \alpha_m} = \frac{352}{\cos 20} = \frac{352}{0,939} = 380 \text{ kp}$$

Na sílu O zkontrolujeme šnekové soukolí na ohyb.

Na sílu N zkontrolujeme šnekové soukolí na otlačení.

Uvážili jsme podmíinku samosvornosti u šnekového soukolí.

$$\nu = \varphi'$$

Výpočet otáček soukolí.

počet zubů rohatky = 90 ot./min.

dostava = 4 ú/cm <

maximální rychlosť stavu = 230 ot/min.

převod čelního kola = i_c

převod kuželového kola = i_k

$$\frac{90}{4} = 25 \text{ - počet otáček rohatky /min.}$$

$$\frac{230}{25} = 9,2 \text{ ot/min - počet otáček rohatky}$$

$$n_1 = 9,2 \cdot i_c \cdot i_k \text{ - počet otáček šneků}$$

$$n_1 = 9,2 \cdot \frac{A}{B} \cdot \frac{C}{D} \cdot \frac{24}{20} =$$

$$= 9,2 \cdot \frac{51}{34} \cdot \frac{52}{26} \cdot \frac{24}{20}$$

$$n_1 = 33,1 \text{ ot/min}$$

$$\frac{n_1}{n_2} = \frac{z_2}{z_1}$$

$$\frac{33,1}{n_2} = \frac{27}{1} \Rightarrow n_2 = \frac{33,1}{27} = 1,26$$

$$n_2 = 1,26 \text{ ot/min}$$

A,B,C,D máme z tabulk.

Kontrola na ohyb.

a) šnekové kolo

$$P_{D02} = \frac{m_n \cdot b_0 \cdot K_{M02} \cdot V_{02}}{\delta l_{02}}$$

$$b_0 = (d_{1h} + 2 \cdot c_a) \text{ arc } 4$$

$$4 = 30^\circ$$

$$b_0 = (72,74 + 2 \cdot 0,836) \cdot 0,522$$

$$b_0 = 84,412 \cdot 0,522 = 44,3$$

$v_{d2} = 0,61$ /z diagramu na str. 374 části strojů 2 /

$$P_{D_{02}} = \frac{5 \cdot 44,3 \cdot 0,61}{1,25} = 969 \text{ kpu}$$

$$P_{D_{02}} > 0$$

b/ kontrola na šneku

$$v_{d1} = 0,42$$

$$P_{D_{01}} = \frac{m_n \cdot b_0 \cdot K_{M01} \cdot v_{d1}}{\delta l_{01}}$$

$$P_{D_{01}} = \frac{5 \cdot 44,3 \cdot 17,5 \cdot 0,42}{1,25} = 1250 \text{ kpu}$$

$$P_{D_{02}} > 0$$

2/ Kontrola na otlačení.

a/ šnekové kolo

$$P_{Dd_2} = \frac{d_2^{0,8} \cdot b_d \cdot K_{M02} \cdot v_{d2}}{\delta l_{d2}}$$

$$b_d = d_{1h} \cdot \sin \varphi = 72,74 \cdot \sin 30$$

$$b_d = 72,74 \cdot 0,5 = 36,37$$

$$V_2 = \frac{\pi \cdot d_2 \cdot n_2}{60} = \frac{\pi \cdot 0,1354 \cdot 1,26}{60} = 0,0096$$

$$V_{K_2} = \frac{V_2}{\cos \nu} = \frac{0,0096}{0,996} = 0,0097 \doteq 0,01$$

Z diagramu na str. 299 strojnické tabulky najdeme součinitel rychlosti šnekového kola.

$$\frac{d_1}{d_2} = \frac{6,4}{2}$$

$$v_{d_2} = 0,8$$

$$P_{Dd_2} = \frac{51 \cdot 36,37 \cdot 0,48 \cdot 0,8}{1,25} = 560 \text{ kpr}$$

$$P_{Dd_2} > N$$

b) kontrola na šneku

$$P_{Dd_1} = \frac{d_1 \cdot b_d \cdot K_{M01} \cdot v_{d_1}}{\delta d_1}$$

$$V_1 = \frac{\pi \cdot d_1 \cdot n_1}{60} = \frac{\pi \cdot 0,0627 \cdot 33,1}{60} = 0,12$$

$$V_{K_1} = \frac{V_1}{\cos \nu} = \frac{0,12}{0,996} = 0,121$$

$$v_{d_1} = 0,551 \quad - z \text{ diagramu}$$

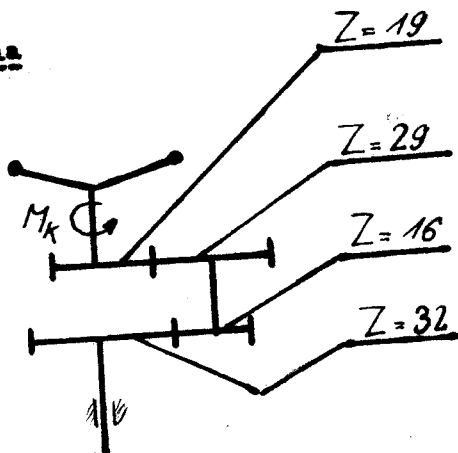
$$P_{Dd_1} = \frac{51 \cdot 36,37 \cdot 0,53 \cdot 0,55}{1,25} = 434 \text{ kpr}$$

$$P_{Dd_1} > N$$

Skutečně dovolené zatížení šnekového soukoli
je nejmenší síla

$$P_{D \min} = 434 \text{ kpr}$$

Kontrola na ruční kola



obr. č. 5

$$m_m = 2$$

$$Z_1 = 19$$

$$Z_2 = 29$$

$$Z_3 = 16$$

$$Z_4 = 32$$

$$b_1 = m_m \cdot 19 = 2 \cdot 19 = 38 \text{ mm}$$

$$b_2 = m_m \cdot 29 = 2 \cdot 29 = 56 \text{ mm}$$

$$b_3 = m_m \cdot 16 = 2 \cdot 16 = 32 \text{ mm}$$

$$b_4 = m_m \cdot 32 = 2 \cdot 32 = 64 \text{ mm}$$

$$\eta_L = 0,98 \quad - \text{účinnost ležisek}$$

$$\eta_s = 0,74 \quad - \text{účinnost šneku}$$

$$\eta = \eta_L \cdot \eta_s = 0,98 \cdot 0,74 = 0,71$$

$$M_{K_f} = 870 \text{ kp mm} \quad - \text{kreutici moment šneku}$$

M_K - kreutici moment na hřideli - obr. č. 5

$$M_K = M_{K5} \cdot \frac{r}{r_1} \cdot i$$

$$i = \frac{29}{19} \cdot \frac{32}{16}$$

$$\frac{1}{i} = \frac{16}{32} \cdot \frac{16}{32}$$

$$M_K = 870 \cdot \frac{16}{32} \cdot \frac{19}{29} \cdot 0,71 = \cancel{202 \text{ kp mm}}$$

počítáme obvodevnou sílu na ruční kolo *Poru*

$$P_{ru} = \frac{M_K}{R_{ru}}$$

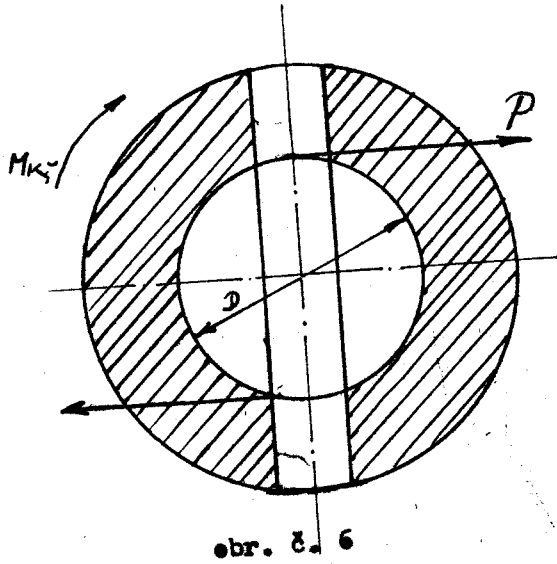
zvolíme průměr ručního kola 160 mm

$$R_{ru} = 80 \text{ mm}$$

$$P_{ru} = \frac{202}{80} = 2,5 \text{ kp}$$

Požadovaná síla je 4 kp dle zadání diplomové práce.

Tato síla nám vyhovuje.



kontrola na kolíku

na stříh

podle ebr. č. 6

$$P = \frac{M_{k5}'}{D}$$

kontrolujeme na kolíku Ø 8 mm

$$M_{k5}' = 870 \text{ kp mm}$$

$$P = \frac{870}{8} = 108,75 \text{ kp}$$

σ - napětí

F - plecha

σ_K - napětí mezi klusu

σ_T - napětí v tahu

R - poloměr

$$\sigma = \frac{P}{F}$$

$$F = \pi \cdot R^2 = \pi \cdot 4^2 = 50,24 \text{ mm}^2$$

$60 = ?$

$$\bar{C}_{cs} = \frac{P}{F} = \frac{108,75}{50,2} = 2,02 \text{ kp/mm}^2$$

Kolik řeš - materiál 11 600 má napětí v tahu 65 kp/mm²

$$\bar{\sigma}_k = 0,7 \cdot \bar{\sigma}_t = 0,7 \cdot 65 = 45,5 \text{ kp/mm}^2$$

$$\bar{C}_k = \frac{\bar{\sigma}_k}{2} = 22,75 \text{ kp/mm}^2$$

dle tabulky pro konstruktéry - prof. ing. Hůšek najdeme

$$\bar{\sigma}_c = 22 \text{ kp/mm}^2$$

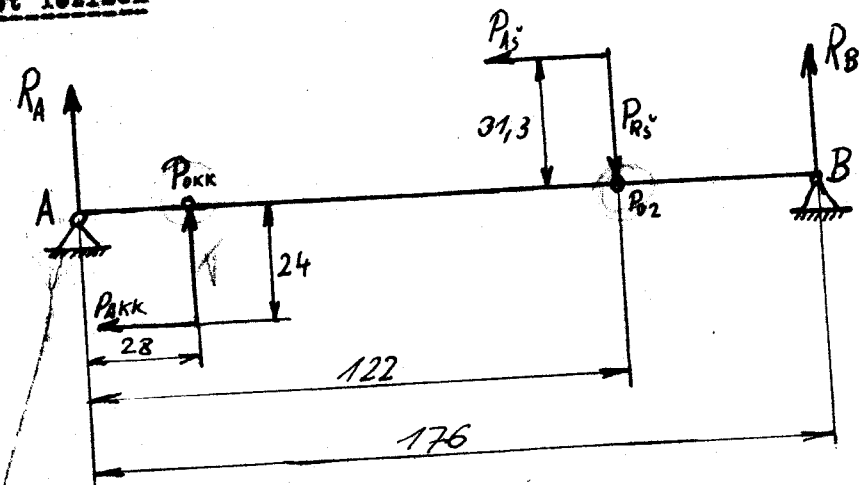
$$\bar{C}_c = 0,5 \div 0,56 \cdot \bar{\sigma}_c$$

$$\bar{C}_{c_D} = 0,5 \cdot 22 = 11 \text{ kp/mm}^2$$

Toto nám vyhovuje, protože nám vyšlo na naší sílu

$$\bar{C}_{cs} = 2,05 \text{ kp/mm}^2$$

Výpočet ležisek



obr. č. 7

oba obr. č. 7

R_A - reakce v bodě A

R_B - reakce v bodě B

$P_{Rs^+} = 128 \text{ kp}$ - radiální síla šneku

$P_{RKK} = 4,5 \text{ kp}$ - radiální síla kuželových kol

$P_{As^+} = 350 \text{ kp}$ - axiální síla šneku

$P_{AKK} = 4,35 \text{ kp}$ - axiální síla kuželových kol

$P_{Orz} = 350 \text{ kp}$ - obvodová síla šneku kola

$P_{OK} = 18,5 \text{ kp}$ - obvodová síla kuželových kol

$R_s^+ = 31,3 \text{ mm}$ - poloměr šneku

$R_{KK} = 24 \text{ mm}$ - poloměr kuželového kola

Výpočet reakce v bodě B

V bodě B působí reakce R_B - tuto reakci rozdělíme na dvě složky: ve směru x a y.

Výpočet reakce ve směru y dle obr. č. 7

$$R_{By} \cdot 176 - P_{S5} \cdot 122 + P_{KK} \cdot 148 + P_{AS} \cdot 31,3 + P_{AK} \cdot 24 = 0$$

$$R_{By} = \frac{P_{S5} \cdot 122 - P_{KK} \cdot 148 + P_{AS} \cdot 31,3 + P_{AK} \cdot 24}{176}$$

$$R_{By} = \frac{128 \cdot 122 - 415 \cdot 148 + 350 \cdot 31,3 + 4,5 \cdot 24}{176}$$

$$R_{By} = \frac{16616 - 11275}{176} = \frac{3341}{176}$$

$$R_{By} = 24,7 \text{ kN}$$

Výpočet reakce ve směru x

$$R_{Bx} \cdot 176 - P_{O2} \cdot 122 - P_{KK} \cdot 28 = 0$$

$$R_{Bx} = \frac{P_{O2} \cdot 122 + P_{KK} \cdot 28}{176}$$

$$R_{Bx} = \frac{350 \cdot 122 + 18,5 \cdot 28}{176} = \frac{43116}{176}$$

$$R_{Bx} = 245 \text{ kN}$$

$$R_B = \sqrt{(24,7)^2 + (245)^2} = \sqrt{576 + 60000}$$

$$R_B = \sqrt{60576}$$

$$R_B = 244 \text{ kN}$$

Výpočet reakce v bodě A

V bodě A působí reakce R_A - tuto reakci rozdělíme na dvě složky: ve směru x a y

Výpočet reakce ve směru y dle obr. č. 7

$$R_{Ay} \cdot 176 + P_{KK} \cdot 148 - P_{S^y} \cdot 54 - P_{A^y} \cdot 31,3 - P_{AKK} \cdot 24 = 0$$

$$R_{Ay} = \frac{-P_{KK} \cdot 148 + P_{S^y} \cdot 54 + P_{A^y} \cdot 31,3 + P_{AKK} \cdot 24}{176}$$

$$R_{Ay} = \frac{-415 \cdot 148 + 128 \cdot 54 + 350 \cdot 81,3 + 4135 \cdot 24}{176}$$

$$R_{Ay} = \frac{18163 - 663}{176} = \frac{17495}{167}$$

$$R_{Ay} = 88 \text{ kp}$$

Výpočet reakce ve směru x

$$R_{Ax} \cdot 176 - P_{KK} \cdot 148 - P_{S^x} \cdot 54 = 0$$

$$R_{Ax} = \frac{P_{KK} \cdot 148 + P_{S^x} \cdot 54}{176}$$

$$R_{Ax} = \frac{18,5 \cdot 148 + 350 \cdot 54}{176} = \frac{22180}{176}$$

$$R_{Ax} = 125 \text{ kp}$$

$$R_A = \sqrt{(R_{Ay})^2 + (R_{Ax})^2} = \sqrt{88^2 + 125^2}$$

$$R_A = \sqrt{7056 + 16600} = \sqrt{23656}$$

$$R_A = 150 \text{ kp}$$

Návrh ležisek

pro axiální síly

$$\text{poměr } \frac{C}{P} = 4,93 \quad \text{pro trvanlivost 50 000 hod. 40 st/min}$$

tabulka č. 2 - valivá ležiska

$$P = P_{As} + P_{AKK}$$

$$P = 350 + 4,3 = 354,3 \text{ kp}$$

$$\frac{C}{354,3} = 4,93$$

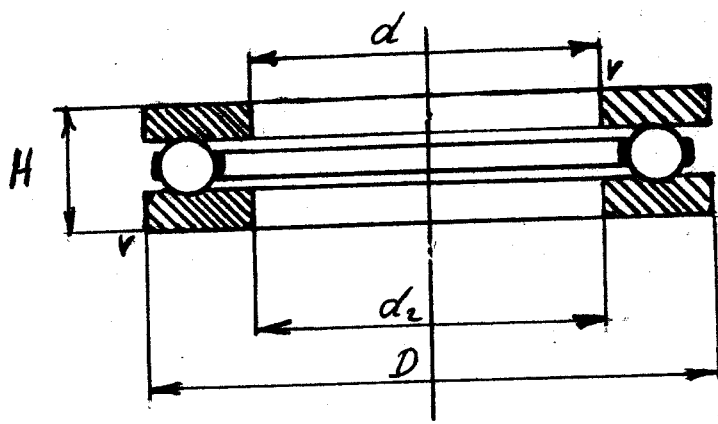
$$C = 354,3 \cdot 4,93 = 1690$$

Zvolíme ležiska 51208 s rozměry

$$d = 20 \text{ mm} \quad d_2 = 20,2 \text{ mm}$$

$$D = 40 \text{ mm} \quad H = 14 \text{ mm}$$

$$V = 1$$



Pro radiální síly

$$v \text{ místě A - reakce } R_A = 150 \text{ kp}$$

poměr $\frac{C}{P} = 4,93$ pro trvanlivost 50 000 hod.
40 ot/min. - tab. 8.2 - valivá
ležiska

$$\frac{C}{150} = 4,93$$

$$C = 150 \cdot 4,93 = 736 \text{ kp}$$

Zvolíme ležiska 6303 pro rozměry

$$d = 17 \text{ mm}$$

$$D = 35 \text{ mm}$$

$$B = 10 \text{ mm}$$

$$r = 0,5$$

$$v \text{ místě B - reakce } R_B = 244 \text{ kp}$$

poměr $\frac{C}{P} = 4,93$

$$\frac{C}{244} = 4,93 \Rightarrow C = 1180 \text{ kp}$$

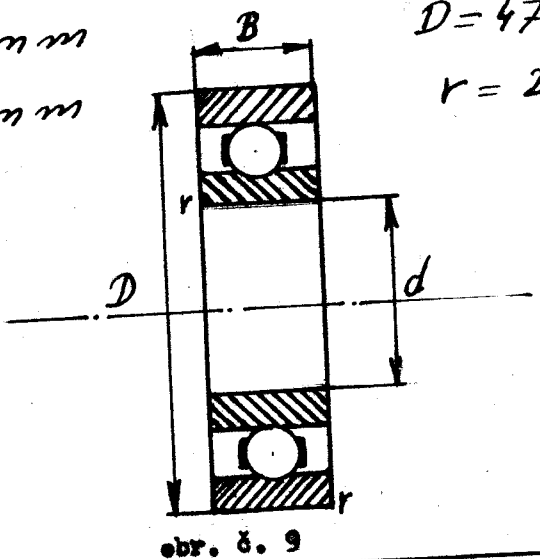
Zvolíme ležiska 6305 - pro rozměry

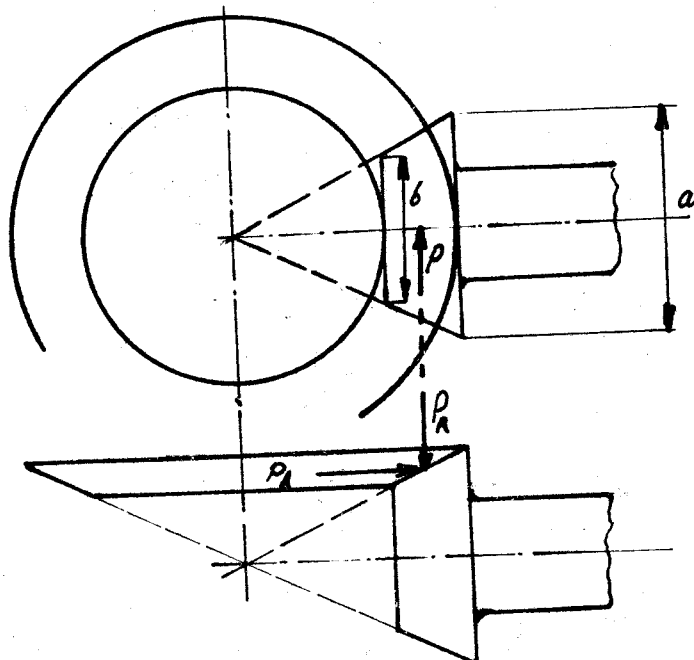
$$d = 25 \text{ mm}$$

$$D = 47 \text{ mm}$$

$$B = 17 \text{ mm}$$

$$r = 2$$





obr. č. 10

Výpočet sílových posádek kuželových kol - dle obr. 10

P - tangentiální síla

a - větší průměr

b - menší průměr

R_s - střední průměr

$$P = \frac{M_{45}^v}{R_s}$$

$$P = \frac{870}{47,5} = 18,5 \text{ kp}$$

$$R_s = \frac{a+b}{2} = \frac{60+35}{2} = \frac{95}{2}$$

$$R_s = 47,5 \text{ mm}$$

$$P_{KX} = P \left(\operatorname{tg} \beta_1 \cdot \cos \delta_1 + \frac{\operatorname{tg} \alpha \sin \delta_1}{\cos \beta_1} \right)$$

Výpočet rozměrů kuželových kol

Zvolíme:

$$Z_1 = 20 \quad ; \quad Z_2 = 24$$

$$m_m = 3 \quad ; \quad \alpha = 20^\circ$$

$$b_1 = 20 \text{ mm} ; \quad \beta_1, \beta_2 = 4^\circ 9'$$

$$\delta_1 = \arctg \frac{Z_1}{Z_2} = \arctg \frac{20}{24} = \arctg 0,83$$

$$\delta_1 = 39^\circ 46'$$

úhel roztečného
kužele

$$\delta_2 = 90^\circ - 39^\circ 46' = 50' 14'$$

$$a_1 = 3,18 \text{ mm}$$

Výška hlavy zábu vychází

$$a_2 = 3,18 \text{ mm}$$

z výkresu

$$d_1 = Z_1 \cdot m_m = 20 \cdot 3 = 60 \text{ mm}$$

$$d_2 = Z_2 \cdot m_m = 24 \cdot 3 = 72 \text{ mm}$$

d_1 ; d_2 jsou průměry roztečné kružnice

$$t = \pi \cdot m_m = \pi \cdot 3 = 9,42 \text{ mm} \quad - \text{rozteč}$$

$$d_{01} = d_1 + 2 \cdot a_1 \cos \delta_1$$

$$d_{01} = 60 + 2 \cdot 3,18 \cdot \cos 39^\circ 46'$$

$$d_{01} = 60 + 6,36 \cdot 0,768 = 64,89 \text{ mm}$$

$$d_{02} = d_2 + 2 \cdot a_2 \cos \delta_2$$

$$d_{02} = 72 + 2 \cdot 3,18 \cdot \cos 50^\circ 14'$$

$$d_{02} = 72 + 6,36 \cdot 0,632 = 76 \text{ mm}$$

a_{01} ; a_{02} jsou vnější klavové průměry

$$P_{RKK} = P \left(\operatorname{tg} 4^\circ 9' \cdot \cos 39^\circ 46' + \frac{\operatorname{tg} 20^\circ \cdot \sin 39^\circ 46'}{\cos 4^\circ 9'} \right)$$

$$P_{RKK} = P \left(0,073 \cdot 0,769 + \frac{0,364 \cdot 0,688}{0,997} \right)$$

$$P_{RKK} = 18,5 \cdot 0,24 = 4,45 \text{ kp}$$

$$P_{AKK} = P \left(-\operatorname{tg} \beta_2 \sin \delta_2 + \frac{\operatorname{tg} \alpha \cdot \cos \delta_2}{\cos \beta_2} \right)$$

$$P_{AKK} = P \left(-\operatorname{tg} 4^\circ 9' \cdot \sin 50^\circ 14' + \frac{\operatorname{tg} 20^\circ \cdot \cos 50^\circ 14'}{\cos 4^\circ 9'} \right)$$

$$P_{AKK} = P \left(-0,073 \cdot 0,775 + \frac{0,364 \cdot 0,632}{0,997} \right)$$

$$P_{AKK} = 18,5 \cdot 0,23 = 4,35 \text{ kp}$$

β_1, β_2 jsou úhly hlav náhubů

P_{RKK} - radiální síla kuželových kol

P_{AKK} - axiální síla kuželových kol

Kontrola kuželových kol na etlačení

Develoná síla P_{Dd}

$$P_{Dd} = \pi \cdot C_{d1} \cdot b \cdot m \cdot \xi$$

$$C_{d1} = \frac{\tilde{C}_{Dd2}}{U} \cdot \frac{r_{d2}}{y_d}$$

$$\tilde{C}_{Dd2} = 1,5 \quad - \text{tabulka č. 6 - XIX str. 349 Části strojů 2}$$

$$U = 0,78 \quad - \text{obr. č. 6 - 217 - Části strojů 2}$$

$$y_d = 2 \quad - \text{obr. č. 6 - 218 - Části strojů 2}$$

$$r_d = 0,6 \quad - \text{obr. č. 6 - 214 - pro trvanlivost 40 000 hod.}$$

$$\xi = 0,55 \quad - \text{obr. č. 6 - 230 - str. 367 Části strojů 2}$$

$$C_{d1} = \frac{\frac{1,5}{0,75}}{2} \cdot 0,6 = 0,59$$

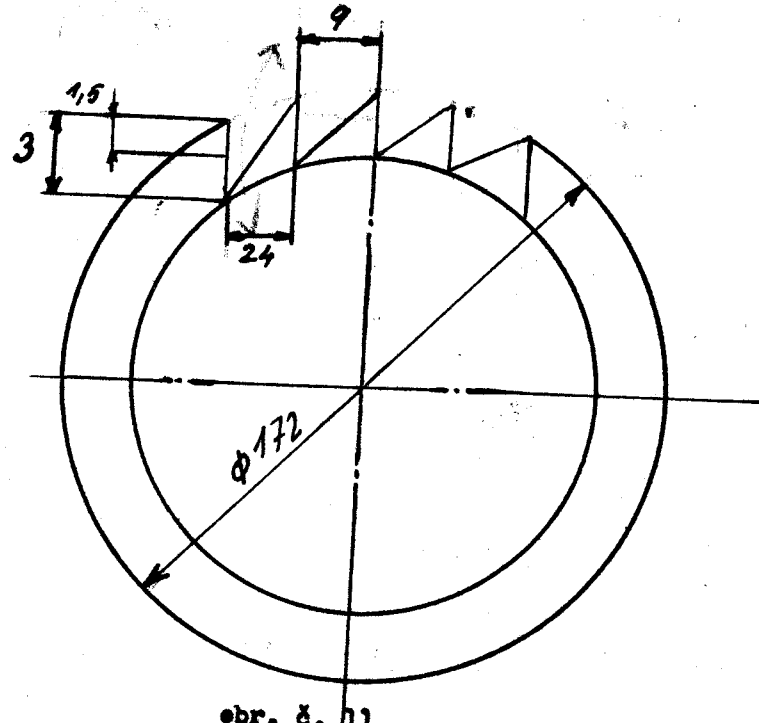
$$P_{Dd} = \pi \cdot 0,59 \cdot b \cdot m \cdot \xi$$

$$P_{Dd} = \pi \cdot 0,59 \cdot 20 \cdot 3 \cdot 0,55$$

Tato síla je větší než síla srovnatelná

$$P_{Dd} = 60,5 \text{ kp}$$

$$P = 18,5 \text{ kp}$$



obr. č. 11

Výpočet rehatky

Zvolíme počet zubů 90

výška zuba 3 mm

rozdíl 9 mm

šířka zuba 24 mm

průměr 172 mm

střední výška zuba 1,5 mm

kreuticí moment draného válcov

M_{K1} kreuticí moment draného válcov

M_{Kr} kreuticí moment rehatky

$$M_{Kr} = \frac{M_{K1}}{\gamma} \cdot \frac{1}{i}$$

$$i = \frac{27}{1} \cdot \frac{20}{24} \cdot \frac{D}{C} \cdot \frac{B}{A}$$

A, B, C, D máme v tabulkách

$$i = \frac{27}{1} \cdot \frac{20}{24} \cdot \frac{26}{52} \cdot \frac{84}{51} = \frac{472000}{63424} = 74$$

$$\eta = \eta_s \cdot \eta_l \cdot \eta_{kk} \cdot \eta_{ck}$$

$$\eta_s - \text{účinnost šneku} = 0,74$$

$$\eta_l - \text{účinnost ložisek} = 0,98$$

$$\eta_{kk} - \text{účinnost kuželových kol} = 0,96$$

$$\eta_{ck} - \text{účinnost čelních kol} = 0,97$$

$$\eta = 0,74 \cdot 0,98 \cdot 0,96 \cdot 0,97 \cdot 0,97 = 0,67$$

$$M_{kr} = \frac{28800}{0,67} \cdot \frac{1}{7,4} = 4760 \text{ kp-mm}$$

$$P_{or} = \frac{M_{kr}}{R_r} = \frac{4760}{86} = 55,4 \text{ kp}$$

P_{or} - obvodevá síla rehatky

$$R_r = \frac{d}{2} = \frac{172}{2} = 86 \text{ mm}$$

kontrola na chyb: materiál rehatky ČSN 42 2429

$$W_0 = \frac{1}{6} \cdot b \cdot h^2$$

$$W_0 = \frac{1}{6} \cdot 18 \cdot 9 = 27 \text{ mm}^3$$

$$\widehat{\sigma}_0 = \frac{M_0}{W_0} = \frac{P_{or} \cdot s}{W_0}$$

$$\widehat{\sigma}_0 = \frac{55,4 \cdot 1,5}{27} = 3,06$$

$$\widehat{\sigma}_{DZ} = \frac{\widehat{\sigma}_0}{4-5} = \frac{20}{5} = 4$$

Z výše uvedeného vyplývá, že navržené rozměry vyhovují pevnostním podmírkám.

\bar{D}_{R_1}	\bar{D}_{R_2}	\bar{D}_{R_3}	\bar{D}_{R_4}	VÝMĚNNÁ KOLA			
				A	B	C	D
14,4	7,2	4,8	3,6	51	34	52	26
15,2	7,6	5	3,8	49	34	51	26
16	8	5,3	4	46	34	51	26
16,8	8,4	5,6	4,2	46	34	49	26
17,6	8,8	5,9	4,4	42	34	52	26
18,4	9,2	6,1	4,6	42	34	49	26
19,2	9,6	6,4	4,8	46	38	49	26
20	10	6,7	5	42	38	51	26
20,8	10,4	7	5,2	42	38	49	26
21,6	10,8	7,2	5,4	x	x	52	26
22,4	11,2	7,5	5,6	49	51	52	26
23,2	11,6	7,7	5,8	46	49	52	26
24	12	8	6	42	26	38	34
24,8	12,4	8,3	6,2	46	38	49	34
25,6	12,8	8,5	6,4	42	38	52	34
26,4	13,2	8,8	6,6	46	42	51	34
27,2	13,6	9,1	6,8	42	52	51	26
28	14	9,3	7	42	51	49	26
28,8	14,4	9,6	7,2	x	34	51	x
29,6	14,8	9,9	7,4	38	x	x	26
30,4	15,2	10,1	7,6	46	42	49	38
31,2	15,6	10,4	7,8	34	49	52	26
32	16	10,7	8	46	x	x	34
32,8	16,4	10,9	8,2	42	46	49	34
33,6	16,8	11,2	8,4	42	49	51	34
34,4	17,2	11,4	8,6	34	51	49	26
35,2	17,6	11,7	8,8	46	26	34	49
36	18	12	9	42	26	38	51
36,8	18,4	12,3	9,2	42	46	49	38
37,2	18,8	12,4	9,4	42	49	51	38
38,4	19,2	12,8	9,6	42	51	52	38
39,2	19,6	13,1	9,8	42	x	x	38
40	20	13,3	10	38	26	34	46
40,8	20,4	13,6	10,2	x	49	52	x
41,6	20,8	13,9	10,4	46	38	42	49
42,4	21,2	14,1	10,6	x	51	52	x
43,2	21,6	14,4	10,8	38	46	51	42
44	22	14,7	11	x	52	51	x
44,8	22,4	14,9	11,2	38	46	49	42
45,6	22,8	15,2	11,4	34	49	52	38
46,4	23,2	15,5	11,6	42	51	52	46
47,2	23,6	15,7	11,8	34	46	52	42
48	24	16	12	42	34	38	52
48,8	24,4	16,3	12,2	46	x	x	52
49,6	24,8	16,5	12,4	38	51	49	42

\bar{D}_{R_1}	\bar{D}_{R_2}	\bar{D}_{R_3}	\bar{D}_{R_4}	VÝMĚNNÁ KOLA			
				A	B	C	D
50,4	25,2	16,8	12,6	42	x	x	49
51,2	25,6	17,1	12,8	34	52	49	38
52	26	17,3	13	38	x	x	46
52,8	26,4	17,6	13,2	42	38	34	46
53,6	26,8	17,9	13,4	46	38	34	51
54,4	27,2	18,1	13,6	34	52	51	42
55,2	27,6	18,4	13,8	34	49	52	46
56	28	18,7	14	34	46	51	49
56,8	28,4	18,9	14,2	38	49	51	52
57,6	28,8	19,2	14,4	46	38	26	42
58,4	29,2	19,5	14,6	34	x	x	46
59,2	29,6	19,7	14,8	46	51	42	52
60	30	20	15	46	34	26	49
60,8	30,4	20,3	15,2	34	51	49	46
61,6	30,8	20,5	15,4	38	51	49	52
62,4	31,2	20,8	15,6	38	34	26	42
63,2	31,6	21,1	15,8	26	x	x	38
64	32	21,3	16	46	34	26	52
64,8	32,4	21,6	16,2	34	x	x	51
65,6	32,8	21,9	16,4	26	51	49	38
66,4	33,2	22,1	16,6	34	x	x	52
67,2	33,6	22,4	16,8	46	38	26	49
68	34	22,7	17	42	46	34	49
68,8	34,4	22,9	17,2	38	42	34	49
69,6	34,8	23,2	17,4	26	x	x	42
70,4	35,2	23,5	17,6	46	49	34	52
71,2	35,6	23,7	17,8	46	38	26	52
72	36	24	18	26	51	49	42
72,8	36,4	24,3	18,2	38	34	26	49
73,6	36,8	24,5	18,4	42	38	26	49
74,4	37,2	24,8	18,6	42	42	26	49
75,2	37,6	25,1	18,8	38	46	34	49
76	38	25,3	19	38	34	26	51
76,8	38,4	25,6	19,2	42	38	26	51
77,6	38,8	25,9	19,4	46	42	26	51
78,4	39,2	26,1	19,6	38	46	34	51
79,2	39,6	26,4	19,8	26	51	49	46
80	40	26,7	20	38	46	34	52
81,6	40,8	27,3	20,4	26	x	x	49
83,2	41,6	27,7	20,8	26	49	51	52
84,8	42,4	28,2	21,2	26	x	x	51
86,4	43,2	28,8	21,6	26	x	x	52
88	44	29,3	22	38	51	34	52
89,6	44,8	29,8	22,4	26	51	49	52
91,2	45,6	30,4	22,8	46	49	26	52

\overline{D}_{R_1}	\overline{D}_{R_2}	\overline{D}_{R_3}	\overline{D}_{R_4}	VÝMĚNNÁ KOLA			
				A	B	C	D
92,8	46,4	30,9	23,2	42	46	26	51
94,4	48,2	31,3	23,6	42	46	26	52
96	48	32	24	34	38	26	52
98	49	32,6	24,5	38	46	26	49
100	50	33,3	25	34	42	26	49
102	51	34	25,5	38	46	26	51
104	52	34,6	26	15	52	40	34
106	53	35,3	26,5	15	50	46	34
108	54	36	27	15	42	38	34
110	55	36,6	27,5	15	x	x	38
112	56	37,3	28	15	50	49	38
114	57	38	28,5	15	51	49	38
116	58	38,6	29	15	52	49	38
118	59	39,3	29,5	15	46	38	34
120	60	40	30	15	46	42	38

Pozn: x x ... Dva libovolně shodné počty zubů,
avšak ne menší než 34 zubů a kolo „A“ ne
více než 46 zubů.

POUŽITÁ VÝMĚNNÁ KOLA / A,B,C,D/

15; 26; 34; 38; 42; 46; 49; 50; 51; 52

ROZSAH DOSTAVY

3,6 - 120 ú / cm.

$$\overline{D} = \frac{90}{4} \cdot \frac{B}{A} \cdot \frac{D}{C} \cdot \frac{10}{24} \cdot \frac{27}{1, \pi, 15, 0}$$

$$\overline{D} = 10,82 \cdot \frac{B \cdot D}{A \cdot C}$$

Technicko - ekonomické zdůvodnění

Význam navrhované konstrukce spočívá v několika uka-zatelích. Především se vyznačuje:

Usnadnění obsluhy stavu

Regulátor je upraven tak, že je umožněno ovládat regulátor minimální silou. Toto přináší tu výhodu, že zde je větší citlivost při manipulaci, ale hlavně při pá-rání umožní přesné nastavení přírazného bodu tak, že nenastane porucha. Snažší manipulace umožní větší obsluhovost stavů.

Pozitivní závadka

Odstraňuje manipulaci s regulátorem při útkovém pře-trhu. Význam spočívá v urychlení oprav útkových pře-trhů a tím i ve zvyšování užitkového výkonu. Tím, že odpadne zásah obsluhy stavu do činnosti zbožových regulátorů předpokládáme, že se zvýší kvalita zboží.

Nastavení dostavy

Nastavení dostavy je řešeno výmennými koly tak, že vzájemnou výměnou 7 ozubených kol lze docílit **dostavy v rozmezí od 4 do 120 útků** v poměrně jemném rozsahu 1/3 útku. U stávajících typů u nás používaných je k tomuto použito sady výmenných ozubených kol v počtu 22 kusů. Regulace dostavy je zde prováděna pouze 1 ko-lém a tím rozsah dosažené dostavy je menší a to od 8 do 27 útku. Tímto uspořádáním je zvýhodněn i výrobce stavů a to v úspore výroby ozubených kol.

starý způsob 22 ozub. kol à 7,5 165 Kčs
nový způsob 7 ozub. kol à 7,5 52 Kčs
rozdíl v nákladech je 113 Kčs.

Při plánované roční výrobě 1000 kusů stavů to reprezentuje úsporu 118,000,- Kčs.

Další výhodu navržené konstrukce spočívá v tom, že umožňuje použití stávajícího navíjecího zařízení, což umožní větší dědičnost dílců.

Z uvedených technicko - ekonomických výhod vyplývá výhodnost navržené konstrukce pro její realizaci.

Seznam výkresů

- I. výkres č. 001 - sestava zbožového regulátoru
- II. výkres č. 002 - šnekové kolo
- III. výkres č. 003 - rohatka
- IV. výkres č. 004 - hřídel

VŠST LIBEREC
FAKULTA STROJNÍ

LITERATURA

List č. 41

30. října 1967

Al-DHAIEF Monem

Talavášek, O. : Konstrukce textilních strojů, III část
- 1967

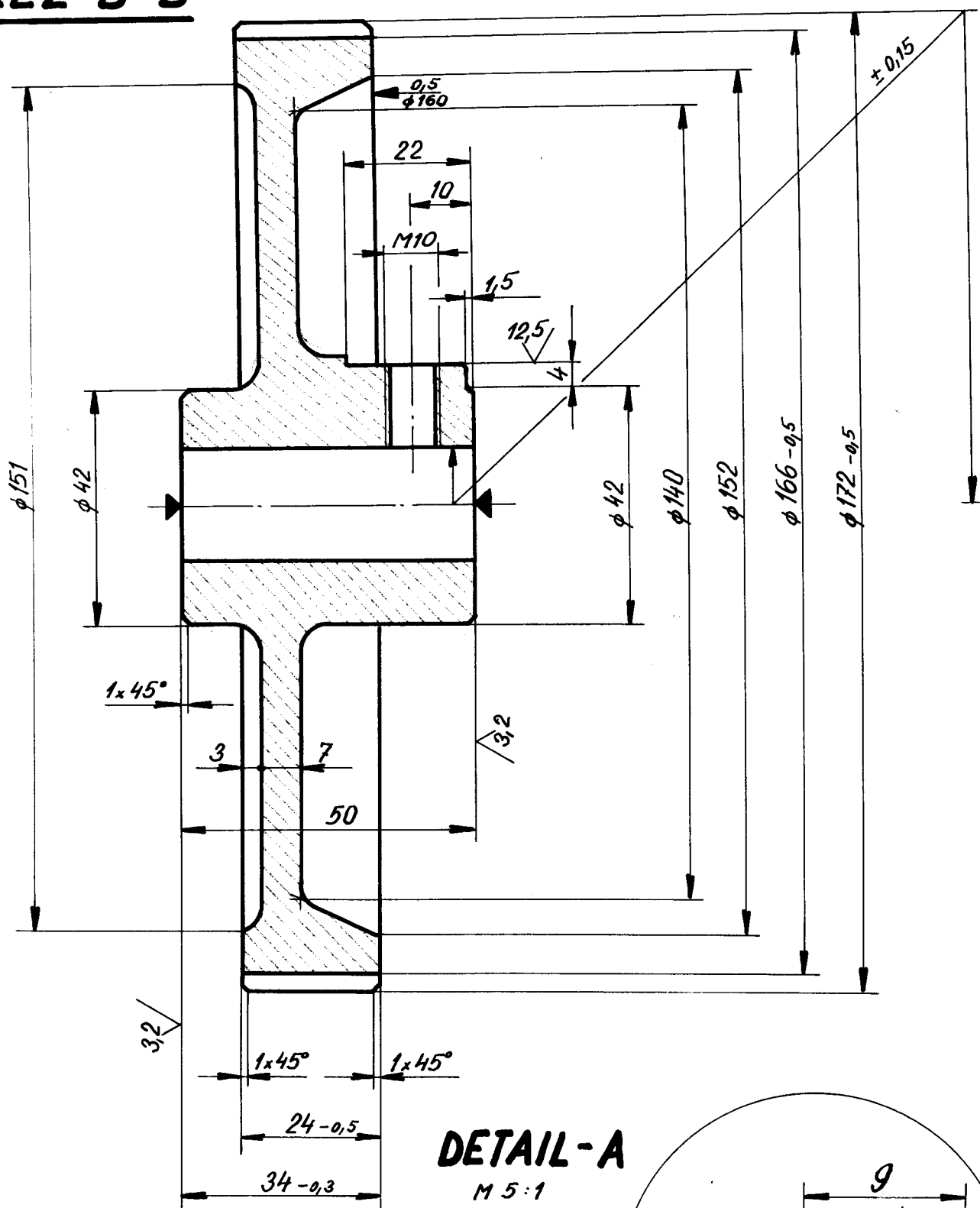
Talavášek, O. : Nová technika v tkalcovnách - 1966

Talavášek, O. : Automatické tkalcovské stavby - 1963

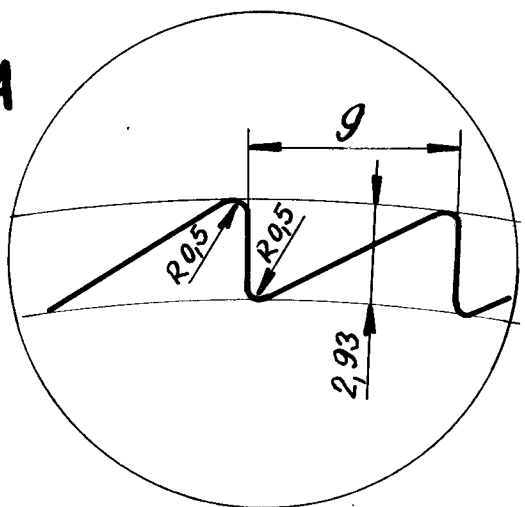
Bolek, A. : Části strojů II. - 1963

Bartoš, J. : Strojní součásti II. - 1953

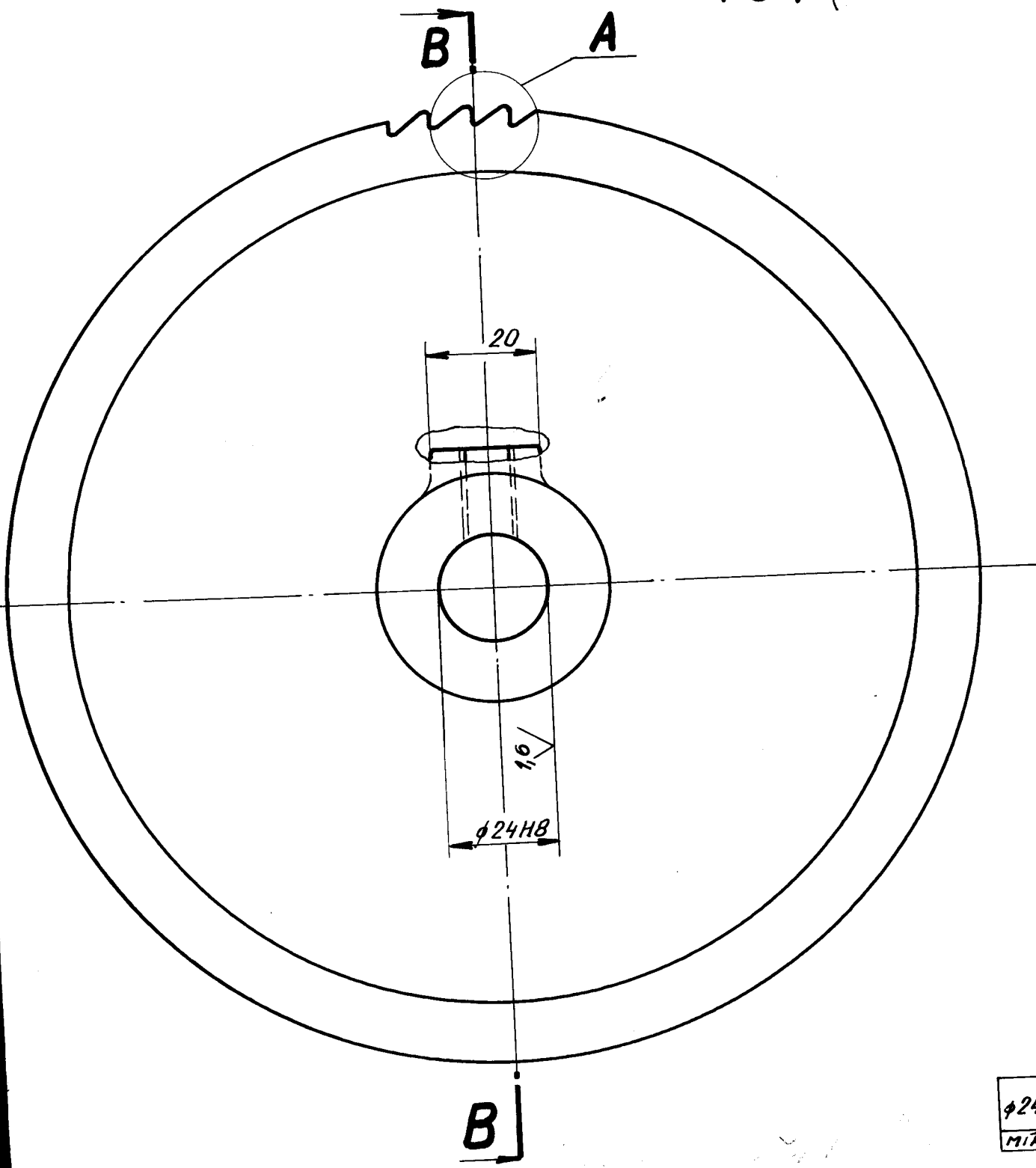
ŘEZ B-B



DETAIL-A
M 5:1



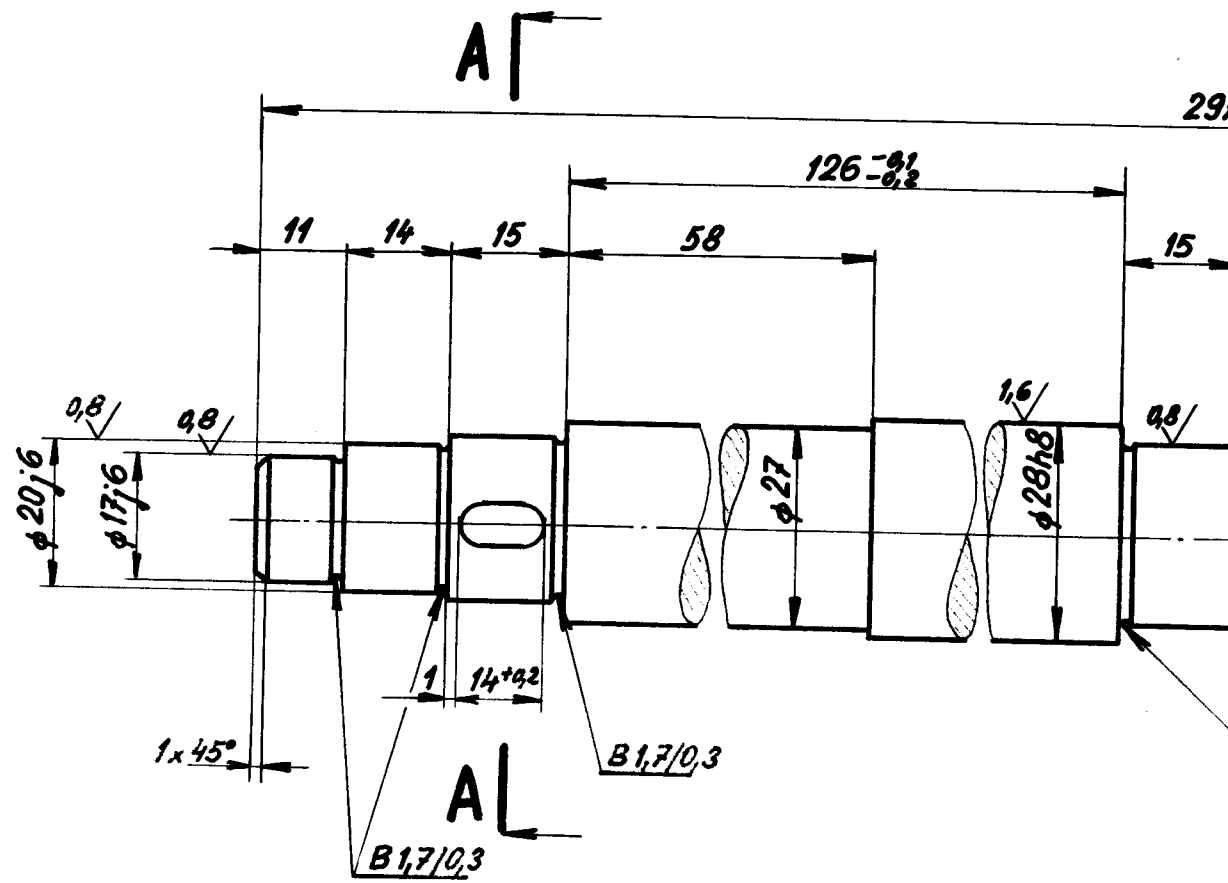
100 ✓ (1,6 ✓ 3,2 ✓ 12,5 ✓)



φ24H8	+0,033 0,000
MÍRA	ÚCHYLNKA

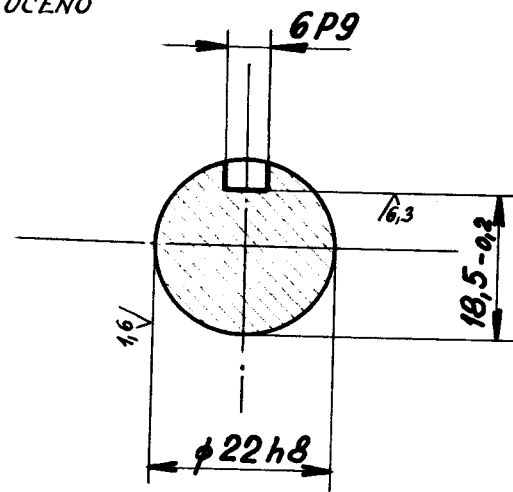
Počet kusů	Název — Rozměr	Položovar	Mater. konečný	Mater. výchozí	Třída odp.	Č. váha	Hr. váha	Číslo výkresu	Pos.
Celková čistá váha kg									
Poznámka									
Měřítka	Kreslil AL-DHAIEF MONEM		Č. snímku						
(5:1)	Přezkoušel								
	Norm. ref.								
	Výr. projedn.	Schválil	Č. transp.						
		Dne 30.10.1967							
Starý výkres Nový výkres									
ZTS	Typ	Skupina	DP 003 - 67						
Týniště n. Orl.	Název	ROHATKA	Počet listů						

29.

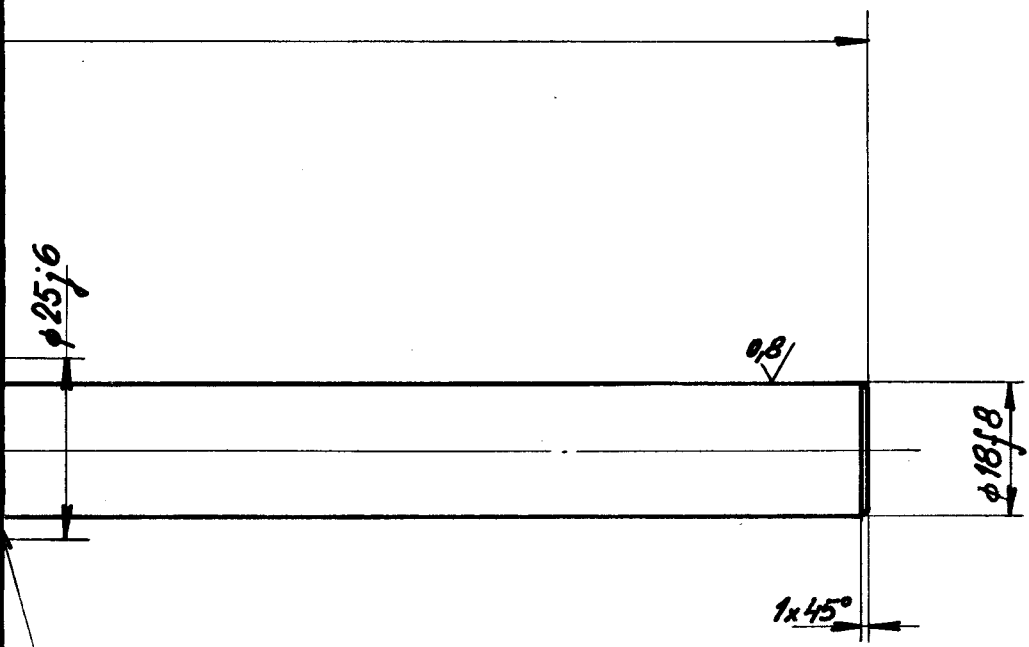


ŘEZ A-A

POOTOCENO



$$3,2 \checkmark \left(0,8 \checkmark \quad 1,6 \checkmark \quad 6,3 \checkmark \right)$$



B1,7/0,3

$\phi 28h8$	$-0,033$
$\phi 25j6$	$+0,009$ $-0,004$
$\phi 22h8$	$-0,033$
$\phi 20j6$	$+0,009$ $-0,004$
$\phi 18f8$	$-0,016$ $-0,043$
$\phi 17j6$	$+0,008$ $-0,003$
$6P9$	$-0,012$ $-0,042$
M/RA	ÚCHYLNKA

∅ 30-297 ČSN 426510.12		11 600.0							
Počet kusů	Název - Rozměr	Položovat	Mater. konečný	Mater. výchozí	Třída odp.	C. váha	Hr. váha	Číslo výkresu	Pos.
Poznámka					Celková čistá váha kg				
Měřítko	Kreslil AL-DHAIEF MONEM			Č. snímku	n a			x	
1:1	Překoušel			č e				x	
	Norm. ref.			m e			d a r u m	x	
	Výr. projedn.	Schválil		č t r a n s p			p o d p i s	x	
		Dne	30.10.1967					x	
ZTS Týniště n. Orl.	Typ	Skupina		Starý výkres	Nový výkres				
	Název	HRÍDEL		DP 004 - 67					
				Počet listů	List				